

Quadratura de Gauss-Legendre

A integral $\int_a^b f(x) dx$ pode ser colocada na forma

$$\int_{-1}^1 f(z) dz \text{ por uma mudança de variável } z = \frac{2x - (a+b)}{b-a}, -1 \leq z \leq 1$$

Sem perda de generalidade, vamos estudar as integrais tipo

$$\int_{-1}^1 f(x) dx. \text{ Como anteriormente, vamos aproximar } f(x)$$

por um polinômio interpolante e integrar como se segue

$$\int_{-1}^1 f(x) dx = \int_{-1}^1 p_n(x) dx + \int_{-1}^1 R_n(x) dx \text{ onde aqui}$$

$R_n(x)$ é o erro do polinômio interpolante.

Como os pontos x_i ainda não foram determinados podemos escrever o polinômio interpolante na forma de Lagrange

$$f(x) = p_n(x) + R_n(x)$$

$$= \sum_{i=0}^n L_i(x) f(x_i) + \underbrace{\left[\prod_{i=0}^n (x - x_i) \right] \frac{f^{(n+1)}(x)}{(n+1)!}}_{\text{erro do polinômio interpolante}} \quad \begin{array}{l} < x < \\ x \neq x_i \end{array}$$

$$\text{onde } L_i(x) = \prod_{j=0, j \neq i}^n \left(\frac{x - x_j}{x_i - x_j} \right)$$

Se $f(x)$ for assumido um polinômio de grau $2n+1$
 então o termo $\frac{f^{(n+1)}(x)}{(n+1)!}$ deve ser um polinômio de grau
 n .

$$q_n(x) \equiv \frac{f^{(n+1)}(x)}{(n+1)!} \quad \begin{array}{l} a < x < b \\ x \neq x_i \end{array}$$

$$f(x) = \sum_{i=0}^n L_i(x) f(x_i) + \left[\prod_{i=0}^n (x-x_i) \right] q_n(x)$$

integrando termos

$$\begin{aligned} \int_{-1}^{+1} f(x) dx &= \int_{-1}^{+1} \sum_{i=0}^n L_i(x) f(x_i) dx + \int_{-1}^{+1} \left[\prod_{i=0}^n (x-x_i) \right] q_n(x) dx \\ &= \sum_{i=0}^n \underbrace{\left[\int_{-1}^{+1} L_i(x) dx \right]}_{\equiv w_i} f(x_i) + \int_{-1}^{+1} \left[\prod_{i=0}^n (x-x_i) \right] q_n(x) dx \\ &= \sum_{i=0}^n w_i f(x_i) + \underbrace{\int_{-1}^{+1} \left[\prod_{i=0}^n (x-x_i) \right] q_n(x) dx}_{\text{erro}} \end{aligned}$$

$$\text{onde } w_i = \int_{-1}^{+1} L_i(x) dx = \int_{-1}^{+1} \prod_{\substack{j=0 \\ i \neq j}}^n \frac{x-x_j}{x_i-x_j} dx$$

O objetivo agora é selecionar x_i de forma que
 o termo do erro desapareça!

Vamos expandir $q_n(x)$ e $\prod_{i=0}^n (x-x_i)$ em termos dos polinômios de Legendre

$$\prod_{i=0}^n (x-x_i) = b_0 P_0(x) + b_1 P_1(x) + \dots + b_{n+1} P_{n+1}(x) = \sum_{i=0}^{n+1} b_i P_i(x)$$

$$q_n(x) = c_0 P_0(x) + c_1 P_1(x) + \dots + c_n P_n(x) = \sum_{i=0}^n c_i P_i(x)$$

efetuando o produto e integrando

$$\int_{-1}^{+1} q_n(x) \prod_{i=0}^n (x-x_i) = \int_{-1}^{+1} \left[\sum_{i=0}^n \sum_{j=0}^n b_i c_j P_i(x) P_j(x) + b_{n+1} \sum_{i=0}^n c_i P_i(x) P_{n+1}(x) \right] dx$$

todos os termos
 $i \neq j$ deverão
desaparecer
devido à ortogonalidade

integral é zero
pois $i \neq n+1$

$$= \int_{-1}^{+1} \sum_{i=0}^n b_i c_i [P_i(x)]^2 dx$$

Uma maneira de fazer esta expressão ser zero é que todos os b_i , $i=0,1,\dots,n$ sejam zero. Mas para tanto olhando para expressão $\prod_{i=0}^n (x-x_i)$ em polinômios de Legendre devemos ter

$$\prod_{i=0}^n (x-x_i) = b_{n+1} P_{n+1}(x) \quad \text{mas para que}$$

isto ocorra x_i devem ser as raízes do polinômio $P_{n+1}(x)$.

Raízes $P_{n+1}(x)$ e fatores peso (w_i)

	Raízes (x_i)	Fatores Peso (w_i)
2 pontos $n=1$	$\pm \sqrt{\frac{1}{3}}$	1
3 pontos $n=2$	0 $\pm \sqrt{\frac{3}{5}}$	8/9 5/9
⋮	⋮	⋮

Existe uma rotina no Numerical Recipes (gaulg.c) que calcula as raízes x_i e os pesos w_i para um dado n

Exemplo Calcule $\int_0^1 \frac{dx}{1+x^2}$ usando quadratura de Gauss-Legendre com três pontos

$$\int_0^1 \frac{dx}{1+x^2} = \int_0^2 \frac{\frac{1}{2} dx}{1+\left(\frac{x}{2}\right)^2} = \int_{-1}^1 \frac{\frac{1}{2} dx}{1+\left(\frac{x+1}{2}\right)^2} = \int_{-1}^1 \frac{2 dx}{4+(x+1)^2}$$

$$\approx \sum_{i=0}^n w_i f(x_i), \text{ onde } f(x) = \frac{2}{4+(x+1)^2}$$

$$\approx \frac{5}{9} \frac{2}{4+\left(-\sqrt{\frac{3}{5}}+1\right)^2} + \frac{8}{9} \frac{2}{4+(0+1)^2} + \frac{5}{9} \frac{2}{4+\left(\sqrt{\frac{3}{5}}+1\right)^2}$$

$$= 0.274293789 + 0.355555555 + 0.155417689$$

$$\approx 0.785267033$$

$$\text{erro} = 0.00013$$

$$\text{Valor correto} = 0.785398163$$

$$= \frac{\pi}{4}$$

Generalizações outros tipos de Integral

De forma geral os polinômios ortogonais satisfazem as relações

$$\int_a^b W(x) g_n(x) g_m(x) dx = 0, \quad n \neq m$$

$$\int_a^b W(x) [g_n(x)]^2 dx = C(n) \neq 0, \quad W(x) \text{ é uma função peso}$$

Se $W(x) = 1$ temos polinômios de Legendre $P_n(x)$

$$W(x) = \frac{1}{\sqrt{1-x^2}} \quad \text{" " " Chebyshev } T_n(x) \quad \begin{matrix} a = -1 \\ b = 1 \end{matrix}$$

$$= e^{-x} \quad \text{" " " Laguerre } L_n(x) \quad \begin{matrix} a = 0 \\ b = \infty \end{matrix}$$

$$= e^{-x^2} \quad \text{" " " Hermite } H_n(x) \quad \begin{matrix} a = -\infty \\ b = +\infty \end{matrix}$$

Integral tipo	x_i (raízes do polinômio de)	w_i
$\int_{-1}^1 f(x) dx$	Legendre, $P_n(x)$	$\int_{-1}^1 L_i(x) dx$
$\int_{-1}^1 \frac{1}{\sqrt{1-x^2}} f(x) dx$	Chebyshev, $T_n(x)$	$\int_{-1}^1 \frac{1}{\sqrt{1-x^2}} L_i(x) dx$
$\int_0^\infty e^{-x} f(x) dx$	Laguerre, $L_n(x)$	$\int_0^\infty e^{-x} L_i(x) dx$
$\int_{-\infty}^{+\infty} e^{-x^2} f(x) dx$	Hermite, $H_n(x)$	$\int_{-\infty}^{+\infty} e^{-x^2} L_i(x) dx$

Exercício Calcule $\int_0^\infty e^{-x} \sin x dx$ usando 3 pontos com quadratura de Gauss-Laguerre

(valor exato = $\frac{1}{2}$)
da Integral

	raízes (x_i)	w_i
$n=2$		
3 pontos	0.4157745567	0.7110930099
Polin. de Laguerre	2.2942803602	0.2785177335
	6.2899450829	0.01038925650

Solução

$$I = \sum_{i=0}^n w_i f(x_i) \quad \text{onde } f(x) = \sin x$$

$$\begin{aligned}
 &\approx 0.7110930099 \times \sin(0.4157745567) &= 0.29565438 \\
 &+ 0.2785177335 \times \sin(2.2942803602) &= 0.208750114 + \\
 &+ 0.01038925650 \times \sin(6.2899450829) &= 0.000070228 \\
 &&0.504474722
 \end{aligned}$$

que está em
bom acordo
c/ o valor exato $\frac{1}{2}$
usando apenas 3 pontos!

ERROS da Quadratura de Gauss -

Legendre $E_n = \frac{2^{2n+3} [(n+1)!]^4}{(2n+3) [(2n+2)!]^3} f^{(2n+2)}(\xi)$ ξ em $(-1, 1)$

Chebichev $E_n = \frac{2\pi}{2^{2n+2} (2n+2)!} f^{(2n+2)}(\xi)$ ξ em $(-1, 1)$

Laguerre $E_n = \frac{[(n+1)!]^2}{(2n+2)!} f^{(2n+2)}(\xi)$ ξ em $(0, \infty)$

Hermite $E_n = \frac{(n+1)! \sqrt{\pi}}{2^{2n+1} (2n+2)!} f^{(2n+2)}(\xi)$ ξ em $(-\infty, +\infty)$

Integração por Monte-Carlo (M.C.)

Introdução: O que são métodos de Monte-Carlo?

Métodos de M.C. são aqueles que se utilizam de números aleatórios (ou pseudo-aleatórios) na sua composição.

Eles tem larga aplicação em modelos físicos como por exemplo na mecânica Estatística e simulações de sistemas de muitos corpos. "Many Body"

Uma lista de aplicações é a seguinte:

- Modelo de Ising - algoritmo de Metropolis
- "Salesman Problem"
- Random walk
- DMC - Diffusion M.C. Method
Cálculo do estado fundamental de sistemas de muitos corpos
- QDMC \rightarrow Quantum Determinant M.C. - Modelo de Hubbard
- PIMC - Path Integral M.C.
- Física de Reações (colisões)
- Integrais Multidimensionais $\int dx dy dz dp_x dp_y dp_z f(x, y, z, p_x, p_y, p_z)$

Nesse curso introdutório vamos apenas considerar a aplicação de números aleatórios para o cálculo da integral de uma função:

Geração de números aleatórios

"Random Number Generators" (RNG)

A geração de números aleatórios é uma arte por si só. Atualmente é possível adquirir geradores de números realmente aleatórios: "true random number generators" que digitalizam o ruído gerado em uma junção semi-condutora ao ser atravessado por uma corrente. Entretanto a taxa de geração é limitada. Em geral usam-se operações aritméticas para geração de números aleatórios (ou pseudo aleatórios)

Um dos algoritmos aritméticos mais conhecidos é o devido a Lehmer (1951) e chamado de "Linear Congruential generator" (LCG). Ele é expresso na forma

$$Z_{i+1} = (a Z_i + b) \bmod m = \text{resto da divisão } \frac{a Z_i + b}{m}$$

$m \rightarrow$ modulus

$0 \leq a < m \rightarrow$ "multiplier"

$0 < b < m$ "increment"

$0 \leq Z_0 < m$ é a semente ("seed") ou valor inicial ("start value")

Se a, b, m são propriamente escolhidos então o período será máximo. Nesse caso todos os inteiros entre 0 e $m-1$ ocorrerão em algum ponto de forma que a semente inicial Z_0 é tão boa como qualquer outra.

Seja $a=4$, $b=1$, $m=9$, $z_0=3$

$$Z_{i+1} = (4Z_i + 1) \bmod 9$$

$$z_0 = 3$$

$$z_1 = (4 \times 3 + 1) \bmod 9 = 13 \bmod 9 = \text{resto } \frac{13}{9} = 4$$

$$z_2 = (4 \times 4 + 1) \bmod 9 = 17 \bmod 9 = \text{resto } \frac{17}{9} = 8$$

$$z_3 = (4 \times 8 + 1) \bmod 9 = 33 \bmod 9 = \text{resto } \frac{33}{9} = 6$$

\vdots 7, 2, 0, 1, 5, 3 \leftarrow ciclo de tamanho m

- Para termos uma longa sequência m deve ser um n.º grande mas não tão grande que $a \cdot m$ cause overflow.

- Se obtivermos m n.ºs aleatórios entre 0 e $m-1$ podemos obter uma distribuição uniforme entre $[0, 1)$ pela divisão

$$U_{i+1} = Z_{i+1} / m \quad (\text{resultado real})$$

\downarrow
valor
entre
 $[0, 1)$

\downarrow
valor
entre
0 e $m-1$

Park & Miller LCG ($b=0$)

(EP3)

$$a = 7^5 = 16807$$

$$b = 0$$

$$m = 2^{31} - 1 = 2147483647$$

$$Z_0 \neq 0$$

ciclo $2^{31}-2$

PROGRAMA PRINCIPAL

$$id_{um} = n^o USP \quad (Z_0 \text{ escolhido aleatoriamente})$$

$x = \text{random}(\text{idum})$

x recebe n.º aleatório $(0, 1)$

9
4
1

FIM DO PROGRAMA

(FUNÇÃO RANDOM (idm))

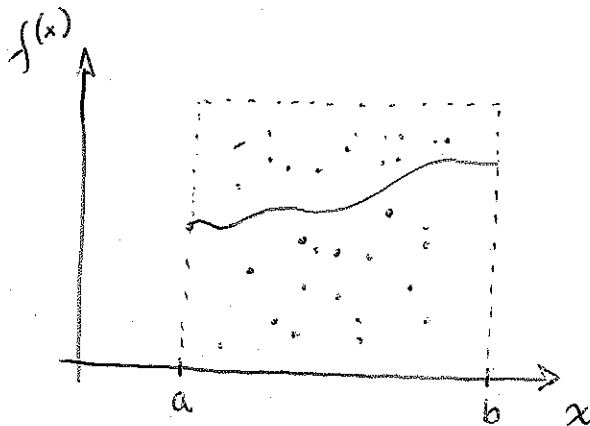
$$a = 16807$$

$$m = 2147483647$$

$$\text{idum} = a * \text{idum} \bmod m$$

retorna $\frac{idum}{m}$ (nº real)

Integração por Monte-Carlo Simples "Simple Monte Carlo Integration"



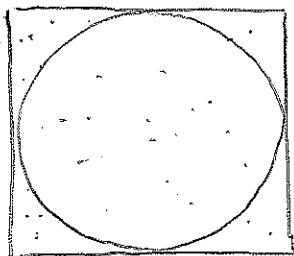
Suponha que desejamos saber a área sob a curva que liga a e b . Jogamos então aleatoriamente pontos no retângulo que contém a área de integração.

Dividindo o número de pontos sob a curva pelo total de pontos jogados ^{e multiplicando pela área do retângulo} teremos uma aproximação da área (ou $\int_a^b f(x)dx$) sob a curva.

$$\int_a^b f(x)dx = \text{Área sob a curva} \approx A \frac{\text{nº de pontos sob a curva}}{\text{nº total de pontos}}$$

A é área do retângulo

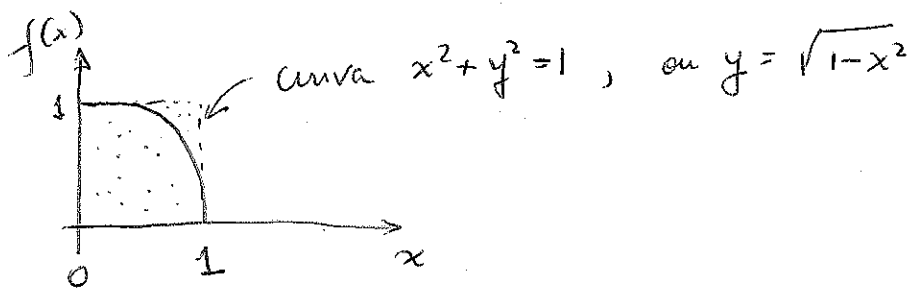
Ex: Cálculo da área de um círculo



$$\rightarrow \text{área do círculo} = A \frac{\text{nº de pontos dentro do círculo}}{\text{nº total de pontos jogados}}$$

A é a área do quadrado circunscrito.

Considerando apenas o 1º quadrante:



$$\int_0^1 f(x) dx = \int_0^1 \sqrt{1-x^2} dx = \frac{1}{4} \text{ área do círculo} = \frac{\pi}{4}$$

$$\approx \frac{\text{nº de pontos sob a curva (dentro)}}{\text{nº de pontos total}}$$

Usando um "Linear Congruential generator" na forma $z_{i+1} = az_i \bmod m$, $a = 16807$, $m = 2^{31} - 1$ obtivemos a seguinte tabela para 10 pontos ($z_0 = 1$)

x	y	$x^2 + y^2$
7.8263693×10^{-6}	0.1315378	1.7302191×10^{-2}
0.7556053	0.4586501	0.7812994
0.5327672	0.2189592	0.3317840
4.7044616×10^{-2}	0.6788647	0.4630705
0.6792964	0.9346929	1.335094
0.3835021	0.5194164	0.4168672
0.8309653	3.457211×10^{-2}	0.6916987
5.3461634×10^{-2}	0.5297002	0.2837404
0.6711494	7.6981862×10^{-3}	0.4505008
0.3834156	6.6842236×10^{-3}	0.1514754

→ fora

$$\pi \approx 4 \frac{\text{nº pontos dentro}}{\text{nº total de pontos}} = \frac{4 \cdot 9}{10} \approx 3.6 \quad \text{resultado grosseiro (pontos/pontos)}$$

pontos	π
10	$\frac{4 \cdot 9}{10} \approx 3.6$
20	$\frac{4 \cdot 17}{20} \approx 3.2$
100	$\frac{4 \cdot 71}{100} \approx 2.8$
1000	$\frac{4 \cdot 792}{1000} \approx 3.16$

Integrais Multidimensionais

Suponham que possamos calcular razoavelmente uma integral em 1D com método de Simpson ^{usando ~30 pontos}. Se tivermos de fazer uma integral 3D precisaríamos $N_{TOT} = N^3$ cálculos da função ≈ 30.000 pontos em 3D. Ou seja $N_{TOT} = N^d$

Para o mesmo N_{TOTAL} de pontos

$$\text{Simpson} - \text{erro} \propto \mathcal{O}(h^4) \propto \frac{1}{N^4}$$

$$\text{Monte Carlo} - \text{erro} \propto \frac{1}{\sqrt{N_{TOT}}} = \frac{1}{N^{1/2}} = \frac{1}{(N^d)^{1/2}}$$

$$\text{erro monte Carlo} \leq \text{erro Simpson}$$

$$d \frac{1}{2} \geq 4 \rightarrow d \geq 8$$

— Para integração multidimensional o método de Integração por M.C. Simples pode ser mais eficiente desde que $d > 8$

— Existem melhoras no M.C. que permitem fazer com que o erro seja $< \frac{1}{N^{1/2}}$. Ver Num. Recipes.

- Apresentam derivadas apenas em relação a uma variável

Exemplos:

$$i) m \frac{d^2 x}{dt^2} = mg$$

cuja solução é $x = x_0 + v_0 t + \frac{g t^2}{2}$

$$ii) m \frac{d^2 x}{dt^2} + kx = 0$$

cuja solução é $x = x_0 \cos(\omega_0 t + \varphi_0)$, $\omega_0 = \sqrt{\frac{k}{m}}$
sistema massa-mola

$$iii) m \frac{d^2 x}{dt^2} + b \frac{dx}{dt} + kx = 0 \quad \text{sistema massa-mola com amortecimento}$$

cuja solução é $x = x_0 e^{-rt} \cos(\omega t + \varphi_0)$ caso
(subcrítico)

$$r = \frac{b}{2m}$$

$$iv) \frac{dN}{dt} = -kN \rightarrow \text{decaimento radioativo}$$

cuja solução é $N = N_0 e^{-kt}$

Se a equação envolve apenas derivadas de 1ª ordem é chamada de E.D.O. de 1ª ordem. Qualquer equação que satisfaça uma E.D.O. é chamada de solução.

Vamos examinar somente as eq. ordinárias que podem ser colocadas na forma explícita[†]

$$y' = f(t, y) \quad , \quad \text{onde} \quad y' = \frac{dy}{dt}$$

A solução envolverá uma constante arbitrária que pode ser determinada se a solução satisfizer um vínculo adicional. A determinação de $y' = f(t, y)$ p/ $t \geq t_0$ sujeito a $y(t_0) = y_0$ é chamada de problema de valor inicial ("initial value problem"). A condição $y(t_0) = y_0$ é chamada de valor inicial ("initial value"). A base para várias técnicas simples para resolver a equação diferencial

$$y' = f(t, y) \quad , \quad y(t_0) = y_0 \quad , \quad t_0 \leq t \leq t_f$$

é expressar a solução em $t+h$, i.e., $y(t+h)$ em termos de $y(t)$. Assim, começando com valor inicial $y(t_0) = y_0$, uma solução aproximada pode ser gerada nos pontos $t = t_0 + h, t_0 + 2h \dots$

[†] Os matemáticos preferem em geral usar a variável x em vez da variável t . Usaremos t pois várias E.D.O. físicas são dependentes do tempo.

Método de Euler

$$y' = f(t, y) \text{ ou}$$

$\frac{dy}{dt} = f(t, y)$, a derivada pode ser aproximada como

$$\frac{y(t+\Delta t) - y(t)}{\Delta t} \approx f(t, y), \text{ ou}$$

$$y(t+\Delta t) \approx y(t) + \Delta t f(t, y)$$

chamando Δt de h temos $y(t+h) \approx y(t) + h f(t, y)$

Esse resultado pode também ser obtido da expansão em série de Taylor

$$y(t+h) = y(t) + h y'(t) + T(h), \text{ onde } T(h) = \frac{h^2}{2} y''(\xi)$$

$t < \xi < t+h$ e é frequentemente chamado de erro de Truncamento local. Se h é suficientemente pequeno podemos aproximar $y(t+h)$ pelos dois primeiros termos

$$y(t+h) = y(t) + h f(t, y(t))$$

Assim se $y(t_0)$ é conhecido e um tamanho de passo h é fornecido podemos estimar $y(t_0+h)$. Este procedimento é repetido para obter $y(t_0+2h)$ de $y(t_0+h)$ e assim por diante.

Exemplo : Encontre a solução aproximada de $y' = y$, $y(0) = 1$

Solução Tomando passo $h = 0.1$ temos, $f(t, y) = y$,

$$y(0.1) \approx y(0) + 0.1 f(0, y(0)) = y(0) + 0.1 y(0) \approx 1.1$$

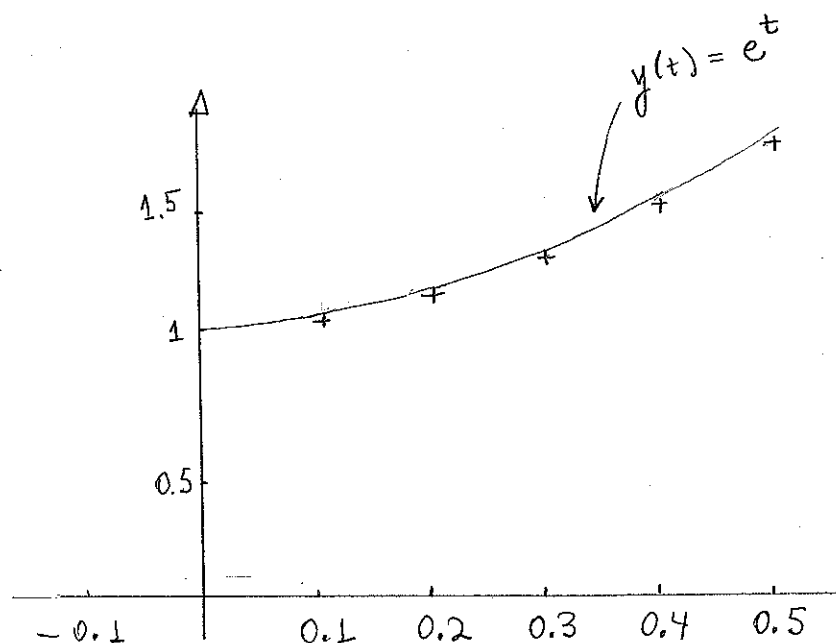
$$y(0.2) \approx y(0.1) + 0.1 f(0.1, y(0.1)) \approx 1.1 + 0.1 \times 1.1 \approx 1.21$$

$$y(0.3) \approx y(0.2) + 0.1 f(0.2, y(0.2)) \approx 1.21 + 0.1 \times 1.21 = 1.331$$

$$y(0.4) \approx y(0.3) + 0.1 f(0.3, y(0.3)) \approx 1.4641$$

$$y(0.5) \approx y(0.4) + 0.1 f(0.4, y(0.4)) \approx 1.61051$$

estes valores podem ser comparados com a solução verdadeira $y(t) = e^t$ nos pontos $t = 0.1, 0.2, 0.3, 0.4$ e 0.5 .



+ pontos calculados por método de Euler.

O método utilizado aqui pode ser expresso na forma

$$\boxed{y_{i+1} = y_i + h f(t_i, y_i)} \quad , \quad y_0 = y(t_0)$$
$$t_i = t_0 + ih$$

Exercícios Use o método de Euler para encontrar soluções aproximadas para

(i) $y' = ty^2$

(ii) $y' = \sqrt{t} \sin y$

sujeitas a $y(0) = 1$ e cada caso tomando $h = 0.1$, 0.05 e 0.025 . Compare as aproximações p/ $y(1)$ em cada caso.

Vimos que, num certo ponto, a discrepância entre a solução produzida e a solução da equação diferencial é determinada pelo erro de truncamento local. Devemos considerar como estes erros influenciam valores posteriores. Vamos assumir que uma solução aproximada foi obtida em $t = t_0 + ih$. A diferença entre $y(t)$ e a aproximação discreta y_i é chamada de "erro de discretização global" ("global Discretization Error")

Quando $h \rightarrow 0$ mais e mais passos são necessários para alcançar um determinado t , i.e., $i \rightarrow \infty$. Uma condição suficiente para a equação de diferenças convergir para a solução da equação diferencial é que o erro global tenda a zero quando $h \rightarrow 0$, $i \rightarrow \infty$, $t_i = t_0 + ih$.

Método do Trapézio

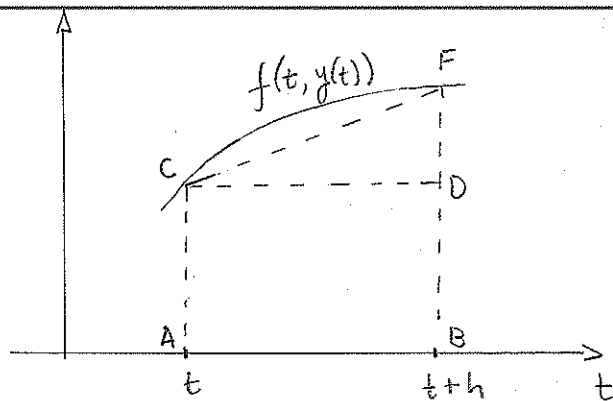
$$y' = f(t, y)$$

$$\frac{dy}{dt} = f(t, y)$$

$$dy = f(t, y) dt$$

integrando ambos os lados de t até $t+h$

$$y(t+h) - y(t) = \int_t^{t+h} f(t, y(t)) dt$$



$$\int_t^{t+h} f(t, y(t)) dt \approx \text{área do retângulo } ABCD \Rightarrow \text{método de Euler}$$

Usando uma aproximação melhor como a área do trapézio $ABFC$ produz

$$\int_t^{t+h} f(t, y(t)) dt = \frac{h}{2} [f(t, y(t)) + f(t+h, y(t+h))] + T(h)$$

$$\text{onde } T(h) = \frac{h^3}{12} \frac{d^3 y}{dt^3}(\xi) \quad t < \xi < t+h$$

Para h suficientemente pequeno substituímos $y(t)$ por y_i em $t = t_i$ e obtemos o método

$$y_{i+1} = y_i + \frac{h}{2} [f(t_i, y_i) + f(t_{i+1}, y_{i+1})]$$

que é o método do trapézio.

É um método mais acurado que o método de Euler mas tem a desvantagem de ser implícito, i.e., a cada passo uma equação não linear tem de ser resolvida.

Exemplo - Encontre a solução aproximada para

$$y' = ty^2, \quad y(0) = 1 \quad \text{usando o método do trapézio}$$

Solução $f(t, y) = ty^2$

Usando $h = 0.1$

$$y_1 = y_0 + \frac{h}{2} [f(t_0, y_0) + f(t_1, y_1)]$$

$$y_1 = y_0 + \frac{0.1}{2} [f(0, y_0) + f(0.1, y_1)]$$

$$= 1 + 0.05 [0 + 0.1 y_1^2]$$

$$0.005 y_1^2 - y_1 + 1 = 0 \Rightarrow y_1 \begin{cases} 198.99494 & \times \text{ não serve} \\ 1.005 \end{cases}$$

em geral essas equações algébricas são resolvidas por métodos iterativos como

$$y_1^{(k+1)} = y_0 + 0.05 [f(t_0, y_0) + f(t_1, y_1^{(k)})]$$

com $y_1^{(0)} = y_0$, que converge linearmente para y_1

desde que $|\frac{h}{2} \frac{\partial f}{\partial y}| < 1$

Método de Runge-Kutta (RK)

Vimos que o método do trapézio era dado por

$$y_{i+1} = y_i + \frac{h}{2} [f(t_i, y_i) + f(t_{i+1}, y_{i+1})],$$

mas poderíamos aproximar y_{i+1} do lado direito pelo método de Euler, fornecendo explicitamente

$$y_{i+1} = y_i + \frac{h}{2} [f(t_i, y_i) + f(t_i + h, y_i + h f(t_i, y_i))]$$

que é chamado de "Simple Runge-Kutta Method" ou "Improved Tangent Method".

Podemos generalizar essa idéia introduzindo mais parâmetros de forma a minimizar o erro expressando

$$y_{i+1} = y_i + [\alpha_1 k_1 + \alpha_2 k_2 + \dots + \alpha_p k_p]$$

onde $k_1 = h f(t_i, y_i)$, $k_m = h f(t_i + \nu_m h, y_i + \mu_m k_{m-1})$, $m=2, 3, \dots, p$

Isto fornece p α 's, $p-1$ ν 's e $p-1$ μ 's totalizando $3p-2$ parâmetros a serem determinados.

$p=1 \rightarrow$ fornece $y_{i+1} = y_i + \alpha_1 k_1$ e $k_1 = h f(t_i, y_i)$ ou

$$y_{i+1} = y_i + h \alpha_1 f(t_i, y_i)$$

para o qual $\alpha_1 = 1$ se reduz ao método de Euler.

$$p=2 \rightarrow y_{i+1} = y_i + [\alpha_1 k_1 + \alpha_2 k_2]$$

$$k_1 = h f(t_i, y_i), \quad k_2 = h f(t_i + \nu_2 h, y_i + \mu_2 k_1)$$

Para encontrar valores $\alpha_1, \alpha_2, \nu_2$ e μ_2 lembramos que y_i é uma aproximação de $y(t_i)$ e consideramos

$$y(t+h) = y(t) + h\alpha_1 f(t, y(t)) + h\alpha_2 f(t+\nu_2 h, y(t) + \mu_2 h f(t, y(t))) + \mathcal{O}(h^3)$$

Expandindo $f(t+\nu_2 h, y(t) + \mu_2 h f(t, y(t)))$ em série de Taylor fornece

$$y(t+h) = y(t) + \alpha_1 h f(t, y(t)) + \alpha_2 h \left[f(t, y(t)) + \nu_2 h f_t + \mu_2 h f \frac{\partial f}{\partial y} \right] + \mathcal{O}(h^3)$$

Que pode ser comparada com a expansão de Taylor

$$y(t+h) = y(t) + h y'(t) + \frac{h^2}{2} y''(t) + \mathcal{O}(h^3)$$

Mas $y' = f(t, y(t))$

$$\Rightarrow y'' = \frac{df}{dt} = \frac{\partial f}{\partial t} + \frac{\partial y}{\partial t} \frac{\partial f}{\partial y} = f_t + f f_y \quad \text{onde usamos a regra da cadeia}$$

Substituindo temos

$$y(t+h) = y(t) + h f + \frac{h^2}{2} (f_t + f f_y) + \mathcal{O}(h^3)$$

A comparação fornece

$$\left. \begin{array}{l} \alpha_1 + \alpha_2 = 1 \\ \alpha_2 \nu_2 = \frac{1}{2} \\ \alpha_2 \mu_2 = \frac{1}{2} \end{array} \right\} \begin{array}{l} 3 \text{ equações} \\ 4 \text{ incógnitas} \\ \Rightarrow \text{solução não é única} \end{array}$$

Por exemplo $\alpha_1 = \alpha_2 = \frac{1}{2}$, $\nu_2 = \mu_2 = 1$ fornece

$$y_{i+1} = y_i + \frac{h}{2} [f(t_i, y_i) + f(t_i + h, y_i + h f(t_i, y_i))]$$

que é o RK simples já visto. Erro local $\mathcal{O}(h^3) \rightarrow$ Método 2ª ordem. Note que se a função não depende de y se reduz ao método de integração por trapézios.

A escolha $\alpha_1 = 0$, $\alpha_2 = 1$, $V_2 = \mu_2 = \frac{1}{2}$ fornece

$$y_{i+1} = y_i + h f\left(t_i + \frac{h}{2}, y_i + \frac{h}{2} f(t_i, y_i)\right)$$

que é chamado de Método de Euler-Cauchy. Se não depende de y se reduz ao método do ponto médio visto na integração.

Aumentando o nº de parâmetros (p) é possível construir métodos de ordem superior mas à medida que p aumenta a derivação é semelhante mas é tediosa. Tomando $p=4$ teremos 10 equações e 12 incógnitas e dois parâmetros devem ser selecionados arbitrariamente.

Por exemplo o método de R.K. clássico ("classical Runge-Kutta Method") é

$$k_1 = h f(t_i, y_i)$$

$$k_2 = h f\left(t_i + \frac{h}{2}, y_i + \frac{k_1}{2}\right)$$

$$k_3 = h f\left(t_i + \frac{h}{2}, y_i + \frac{k_2}{2}\right)$$

$$k_4 = h f(t_i + h, y_i + k_3)$$

$$y_{i+1} = y_i + \frac{1}{6} [k_1 + 2k_2 + 2k_3 + k_4]$$

erro local $\mathcal{O}(h^5)$

" global $\mathcal{O}(h^4)$ → método de 4ª ordem

Note que se f não depende de y então o método de RK Clássico se reduz à regra de Simpson para integração entre t e $t+h$, usando os pontos $t, t+\frac{h}{2}, t+h$.